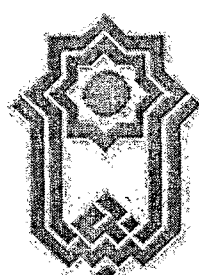


بِسْمِ اللّٰهِ الرَّحْمٰنِ الرَّحِيْمِ



دانشکده مهندسی  
گروه مکانیک

### پایان نامه:

برای دریافت درجه کارشناسی ارشد در رشته مهندسی مکانیک  
گرایش تبدیل انرژی

عنوان:

## شبیه‌سازی عددی جریان داخلی به روش اتلاف عددی غیرخطی ماتریسی

استاد راهنما:

دکتر محمد مهدی رشیدی

دانشکده فنی  
تهریه مدرک

پژوهشگر:

محمدحسین جلال رزاقی

۱۳۸۸ / ۵ / ۱۲

اردیبهشت ۱۳۸۷

همه امتیازهای این پایان‌نامه به دانشگاه بوعالی سینا  
تعلق دارد. در صورت استفاده از تمام یا بخشی از  
مطلوب پایان‌نامه در مجلات، کنفرانس‌ها و یا  
سخنرانی‌ها، باید نام دانشگاه بوعالی سینا (یا استاد یا  
اساتید راهنمای پایان‌نامه) و نام دانشجو با ذکر مأخذ  
و ضمن کسب مجوز کتبی از دفتر تحصیلات تكمیلی  
دانشگاه ثبت شود. در غیر این صورت مورد پیگرد  
قانونی قرار خواهد گرفت.

تقدیم به:

حضرور سبز همسر

مادر مهربانه

۶

پدر فدایکا (۵)

و خانواده عزیزخ که پشتوانه همیشگی ام هستند.

نویسنده: جلال رزاقی، محمدحسین

عنوان پایان نامه:

## شبیه‌سازی عددی جریان داخلی به روش اتلاف عددی غیرخطی ماتریسی

استاد راهنما: رشیدی، محمدمهری (Ph.D.)

درجه: کارشناسی ارشد مهندسی مکانیک زمینه مطالعه: دینامیک سیالات محاسباتی

دانشکده: فنی مهندسی - دانشگاه بوعلی سینا تاریخ فارغ‌التحصیلی: اردیبهشت ۱۳۸۷

واژه‌های کلیدی: نازل، شوک، معادلات TLNS، اتلاف عددی غیر خطی، حسگر شوک.

### چکیده:

شبیه‌سازی عددی میدان جریان داخلی درون نازل با استفاده از حل معادلات ناویر-استوکس در تجزیه و تحلیل حوزه جریان نازل یک امر ارزشمند و لازم می‌باشد. امروزه با استفاده از روش‌های عددی که نیاز به زمان و حافظه کامپیوتری بسیار بالایی دارند، می‌توان حوزه جریان (انتقال حرارت) درون نازل را تعیین نمود، سپس با استفاده از نتایج نهایی این حوزه جریان، نیروی رانش و دیگر پارامترهای لازم را به دست آورد. برای به دست آوردن حوزه جریان جهت تحلیل انتقال حرارت در نازل که مورد نیاز تحلیل سازه‌ای بدن نازل است، تعیین ناحیه شوک امری لازم است. تشکیل شوک در داخل نازل موفق صوت پدیده مهمی است. حضور شوک‌های مایل ناخواسته می‌تواند به میزان قابل توجهی میدان جریان پایین‌دست را تغییر دهد، شوک ایجاد شده نیروی جلوبرنده را کاهش می‌دهد و مشخصه‌های آکوستیکی خارجی و فشار پشت ناحیه شوک را عوض می‌کند. برای تعیین حوزه جریان درون نازل باید معادلات حاکم یعنی معادلات کامل ناویر-استوکس، حل شوند.

در این تحقیق برای بررسی میدان جریان داخلی درون نازل، از سه مدل هندسی نازل یک‌گلوگاهه، نازل دو‌گلوگاهه و نازل پلاگ‌دار استفاده شده است. از آنجاییکه حل معادلات کامل ناویر-استوکس که نیاز به زمان و حافظه کامپیوتری بالایی می‌باشد، مشکل است، بنابراین از معادلات ناویر-استوکس تقریب‌زده برای تعیین حوزه جریان درون نازل استفاده شده است که نسبت به معادلات کامل ناویر-استوکس نیاز به زمان و حافظه کامپیوتری کمتری دارد و در ناحیه ایجاد شوک به دلیل وجود اندرکنش قوی بین لایه لزج و غیرلزج کارآبی خیلی خوبی برای شبیه‌سازی عددی جریان درون نازل دارد. در حل عددی معادلات ناویر-استوکس لایه-نازک، از طرح تفاضل مرکزی استفاده شده است. روش‌های تفاضل مرکزی به دلیل وجود خاصیت پراکنده‌گی در ماهیت معادلات آنها در اطراف شوک نوسانات شدیدی بوجود می‌آورند که می‌تواند دقت حل را کم کند ولی در عوض جریان در پشت شوک را با دقت مناسبی پیش‌بینی می‌کنند. به همین منظور برای بررسی دقیق پدیده شوک در درون نازل از روش اتلاف عددی غیر خطی که قابلیت بسیار خوبی برای تسخیر شوک دارد، استفاده شده است. سه مدل اتلاف عددی غیر خطی اسکالار، اسکالار اصلاح شده و ماتریسی به معادلات تفاضل مرکزی اضافه شده‌اند. مدل‌های اتلافی مورد استفاده به صورت هوشمند عمل می‌کنند؛ در نواحی آرام میدان جریان همانند اتلاف عددی خطی عمل می‌کنند و در نواحی که ناپیوستگی بوجود می‌آید همانند روش‌های بالادست رفتار می‌کنند و نتایج بدست آمده نشان می‌دهد که شوک بوجود آمده در نازل دو‌گلوگاهه به خوبی و بدون نوسان تسخیر شده است. ناپیوستگی درون جریان در روش اتلافی بوسیله یک حسگر شوک در میدان جریان حس می‌شود و نوع معادلات مورد استفاده را کنترل می‌کند. نتایج حل این معادلات در این سه نازل توسط سه روش فوق با هم مقایسه شده است و تواناییها و کارآمدی سه روش مورد تجزیه و تحلیل قرار گرفته است. در انتهای به بررسی تاثیر نوع و متغیر حسگر شوک در سرعت همگرایی و دقت حل پرداخته شده است که ۶ متغیر و سه مدل مختلف حسگر شوک مورد بررسی قرار گرفته است.

به نام ایزد یکتا

خداآوند منان را سپاس که لطف خویش را شامل حال من کرد تا بتوانم در راه کسب علم و  
معرفت قدم نهم.

در اینجا جا دارد که از زحمات همسرم که با صبر و شکیبایی مثال زدنی در طول مدت تحصیل من با تحمل مشکلات و مصائب، پشتیبانی خوب برای این بندۀ حقیر بود، تشکر و قدردانی کنم که بی‌شک اگر دلگرمی‌های ایشان نبود با توجه به سختی‌بایی پیشرو این مهم به خاتمه نمی‌انجامید و راهی دیگر را برمی‌گزیدم. از پدر و مادرم عزیزم نیز به همت ایجاد زیربنای رشد و تعالی من تشکر می‌کنم که بی‌شک در ایجاد این زیربنا فداکاری‌های بی‌شائبه‌ای نشان داده‌اند و دعاها خیر ایشان شامل حال این بندۀ حقیر بود. از دوستان عزیزم که در این مدت کمک‌بایی شایانی در انجام امور انجام داده‌اند تشکر و قدردانی می‌کنم. در انتهای از استاد ارجمند و گراتقدرم جانب آقای دکتر رشیدی که بدون راهنمایی، شکیبایی و اعتماد ایشان پایان کار امکان‌پذیر نبود تشکر و قدردانی می‌کنم.

از اساتید بزرگوارم آقای دکتر گنجعلیخان نسب به خاطر آموزش مفاهیم مکانیک سیالات و آقای دکتر محسن گودرزی در آموزش مبانی دینامیک سیالات محاسباتی صمیمانه تشکر می‌کنم. مسلمان رسانه انجام شده خالی از عیب نیست. پیش‌آپیش از کاستی‌هایی که ممکن است در آن وجود داشته باشد پژوهش می‌طلبم، امیدوارم این تحقیق توانسته باشد گوشه‌ای از ایهامات دانش بشری را برطرف کند.

محمدحسین جلال‌رزا<sup>قی</sup>

# فهرست مطالب

## فصل اول

### دینامیک سیالات جریان داخلی

۱	۱-۱-نازل
۱	۱-۲- انواع نازلها
۲	نازلهای سرعت بالا
۲	نازلهای مغناطیسی
۳	نازلهای اسپیری
۳	نازل و کیوم
۴	نازل شکل دهنده
۴	۱-۳- تئوری نازل
۱۲	۱-۴- شوک عمودی
۱۵	۱-۵- جریان دو بعدی مافق صوت
۱۶	۱-۶- شوک مایل
۱۸	۱-۷- اندرکنش بین شوک و لایه مرزی
۲۲	فصل دوم

### مقدمه‌ای بر روش‌های حل عددی

۲۲	۱-۱- روش‌های حل عددی
۲۲	۱-۲- اتلاف عددی
۲۴	۲-۱- منشا نوسانات
۲۴	۲-۲- تاریخچه روش‌های اتلافی
۲۷	

## فصل سوم

### معادلات حاکم و روش عددی

۳۱	۱-۳- معادلات کامل ناویر-استوکس در مختصات کارتزین
۳۲	۲-۳- معادلات کامل ناویر-استوکس (FNS) در مختصات عمومی منحنی الخط
۳۴	۳-۳- تقریب لایه-نازک
۳۶	۴-۳- معادلات ناویر-استوکس با تقریب لایه‌نازک (TLNS)
۳۷	۵-۳- حل عددی
۴۱	۶-۳- شکل قطری
۴۲	۷-۳- شرایط اولیه
۴۳	۸-۳- شرایط مرزی
۴۴	۱-۸-۳- شرط مرزی جسم صلب در دامنه محاسباتی

۴۴	۲-۸-۳- شرط مرزی جریان ورودی
۴۵	۳-۸-۳- شرط مرزی جریان خروجی
۴۵	۴-۸-۳- شرط مرزی صفحه تقارن
۴۵	۹-۳- شبکه‌بندی
۴۶	۱-۹-۳- شبکه‌بندی بیضوی (پواسون)
۴۶	۱۰-۳- تعریف خطای در میدان حل

## فصل چهارم

### اتلاف عددی

۴۷	۱-۴- مدل اتلاف ضمنی یا صریح خطی
۴۸	۲-۴- مدل‌های غیرخطی اتلاف مصنوعی
۵۰	۳-۴- مدل اتلاف غیرخطی اسکالار
۵۰	۴-۴- روش بالادست
۵۴	۵-۴- مدل اتلاف غیرخطی ماتریسی

## فصل پنجم

### رأئه و بررسی نتایج عددی

۵۹	۱-۵- مطالعه شبکه
۶۱	روش بیم-وارمینگ
۶۱	نازل یک گلوگاهه
۶۱	نازل دو گلوگاهه
۶۶	نازل پلاگدار
۷۰	روش اتلاف عددی اسکالار
۷۵	نازل یک گلوگاهه
۷۵	نازل دو گلوگاهه
۷۹	نازل پلاگدار
۸۴	روش اتلاف عددی غیرخطی ماتریسی
۸۸	نازل یک گلوگاهه
۸۸	نازل دو گلوگاهه
۹۲	نازل پلاگدار
۹۷	۲-۵- مقایسه بین سه روش
۱۰۱	نازل دو گلوگاهه
۱۰۱	نازل یک گلوگاهه
۱۰۶	نازل پلاگدار
۱۱۰	۳-۵- بررسی تاثیر حسگرهای شوک مختلف بر متغیرهای جریان نازل و نرخ همگرایی
۱۱۴	روش عددی
۱۱۶	مدل A

B مدل

C مدل

D مدل

۴-۵- بررسی نتایج

۵-۵- پیشنهاد برای کارهای آتی

## مراجع

### پیوستها

پیوست الف

پیوست ب

پیوست ج

پیوست د

پیوست ه

۱۲۰

۱۳۴

۱۴۳

۱۵۲

۱۵۳

۱۵۴

۱۵۷

۱۵۷

۱۵۸

۱۵۹

۱۶۰

۱۶۰

۲۰۰

## فهرست جداول

۳۷	جدول (۱-۳) : چند نمونه از روش‌هایی که در معادله (۲۴-۳) برای مقادیر $\theta_1$ و $\theta_2$ استفاده می‌شوند.
۱۰۳	جدول (۱-۵) : مقایسه نقاط جدایش و برگشت جریان دوبعدی لزج درون نازل دوگلوگاهه $Re=4+$
۱۰۲	جدول (۲-۵) مقایسه تعداد تکرار و CFL مورد نیاز همگرایی حل در نازل دوگلوگاهه
۱۰۲	جدول (۳-۵) : مقایسه نیروی رانش در نازل دوگلوگاهه
۱۰۶	جدول (۴-۵) : مقایسه تعداد تکرار و CFL مورد نیاز همگرایی حل در نازل یک گلوگاهه
۱۰۶	جدول (۵-۵) : مقایسه نیروی رانش در نازل یک گلوگاهه
۱۱۰	جدول (۶-۵) : مقایسه تعداد تکرار و CFL مورد نیاز همگرایی حل در نازل پلاگدار
۱۱۰	جدول (۷-۵) : مقایسه نیروی رانش در نازل پلاگدار
۱۱۶	جدول (۸-۵) - شبکه‌بندی مورد استفاده
۱۱۶	جدول (۹-۵) - تعداد تکرارها در شبکه‌بندی مدل A
۱۱۷	جدول (۱۰-۵) - مقایسه تعداد تکرارها برای هر متغیر در مدل A
۱۱۷	جدول (۱۱-۵) - مقایسه تعداد تکرارها برای هر متغیر در مدل A
۱۲۵	جدول (۱۲-۵) - تعداد تکرارها در شبکه‌بندی مدل B
۱۲۶	جدول (۱۳-۵) - مقایسه تعداد تکرارها برای هر متغیر در مدل B
۱۲۶	جدول (۱۴-۵) - مقایسه تعداد تکرارها برای هر متغیر در مدل B
۱۳۴	جدول (۱۵-۵) - تعداد تکرارها در شبکه‌بندی مدل C
۱۳۴	جدول (۱۶-۵) - مقایسه تعداد تکرارها برای هر متغیر در مدل C
۱۳۵	جدول (۱۷-۵) - مقایسه تعداد تکرارها برای هر متغیر در مدل C
۱۴۳	جدول (۱۸-۵) - تعداد تکرارها در شبکه‌بندی مدل D
۱۴۴	جدول (۱۹-۵) - مقایسه تعداد تکرارها برای هر متغیر در مدل D
۱۴۴	جدول (۲۰-۵) - مقایسه تعداد تکرارها برای هر متغیر در مدل D

## فهرست اشکال

### فصل اول

- ۲ شکل (۱-۱) - نازل آب  
۵ شکل (۲-۱) - نازل  
۹ شکل (۳-۱) - نمودار نسبت سطح مقطع به عدد ماخ  
۹-۱۱ شکل (۴-۱) - نمودارهای نشان دهنده خواص سیال در امتداد نازل برای نازل Kappa-DX  
۱۳ شکل (۵-۱) - شرایط جریان در امتداد شوک عمودی  
۱۵ شکل (۶-۱) - جریان گذری مافوق صوت از یک گوشه  
۱۶ شکل (۷-۱) - شوک مایل در یک گوشه  
۱۹ شکل (۸-۱) - مشخصه شوک مایل  
۱۹ شکل (۹-۱) - تقابل بین شوک و لایه مرزی  
۲۰ شکل (۱۰-۱) - تقابل بین شوک و لایه مرزی در حالت‌های مختلف  
۲۱ شکل (۱۱-۱) - تقابل بین شوک و لایه مرزی در نازل مافوق صوت

### فصل سوم

- ۳۳ شکل (۱-۳) - تبدیل از فضای فیزیکی به فضای محاسباتی  
۳۵ شکل (۲-۳) - شبکه‌بندی ریزتر در نواحی مرزی  
۴۴ شکل (۳-۳) - شرایط مرزی لازم در شبیه‌سازی عددی نازل دو گلوگاهه

### فصل چهارم

- ۴۹ شکل (۱-۴) - ضریب فشار نشان دهنده نوسان در ناحیه شوک

### فصل پنجم

- ۶۰ شکل (۱-۵) - نازل یک گلوگاهه با زاویه کم  
۶۰ شکل (۲-۵) - نازل دو گلوگاهه  
۶۱ شکل (۳-۵) - نازل پلاگ‌دار  
۶۲ شکل (۴-۵) - مقایسه منحنی تغییرات فشار در سطح نازل یک گلوگاهه روش بیم-وارمینگ  
۶۲ شکل (۵-۵) - مقایسه منحنی تغییرات انتربوی در سطح نازل یک گلوگاهه روش بیم-وارمینگ  
۶۳ شکل (۶-۵) - مقایسه منحنی تغییرات فشار در سطح تقارن نازل یک گلوگاهه روش بیم-وارمینگ  
۶۳ شکل (۷-۵) - مقایسه منحنی تغییرات ماخ در سطح تقارن نازل یک گلوگاهه روش بیم-وارمینگ  
۶۴ شکل (۸-۵) - مقایسه منحنی تغییرات ضریب انتقال حرارت در سطح نازل یک گلوگاهه روش بیم-وارمینگ  
۶۴ شکل (۹-۵) - مقایسه منحنی تغییرات ضریب اصطکاک در سطح نازل یک گلوگاهه روش بیم-وارمینگ  
۶۵ شکل (۱۰-۵) - بردارهای سرعت در نازل یک گلوگاهه (شبکه‌بندی  $10 \times 86$ ) روش بیم-وارمینگ  
۶۵ شکل (۱۱-۵) - خطوط فشار ثابت در نازل یک گلوگاهه (شبکه‌بندی  $10 \times 86$ ) روش بیم-وارمینگ

- شکل (۱۲-۵) - خطوط ماخ ثابت در نازل یک گلوگاهه (شبکه‌بندی  $102 \times 86$ ) روش بیم-وارمینگ  
 شکل (۱۳-۵) - مقایسه منحنی تغییرات فشار در سطح نازل دو گلوگاهه روش بیم-وارمینگ  
 شکل (۱۴-۵) - مقایسه منحنی تغییرات انتروپی در سطح نازل دو گلوگاهه روش بیم-وارمینگ  
 شکل (۱۵-۵) - مقایسه منحنی تغییرات فشار در سطح تقارن نازل دو گلوگاهه روش بیم-وارمینگ  
 شکل (۱۶-۵) - مقایسه منحنی تغییرات ماخ در سطح تقارن نازل دو گلوگاهه روش بیم-وارمینگ  
 شکل (۱۷-۵) - مقایسه منحنی تغییرات ضریب انتقال حرارت در سطح نازل دو گلوگاهه روش بیم-وارمینگ  
 شکل (۱۸-۵) - مقایسه منحنی تغییرات ضریب اصطکاک در سطح نازل دو گلوگاهه روش بیم-وارمینگ  
 شکل (۱۹-۵) - بردارهای سرعت در نازل دو گلوگاهه (شبکه‌بندی  $117 \times 95$ ) روش بیم-وارمینگ  
 شکل (۲۰-۵) - ناحیه جدايش در نازل دو گلوگاهه (شبکه‌بندی  $117 \times 95$ ) روش بیم-وارمینگ  
 شکل (۲۱-۵) - خطوط ماخ ثابت در نازل دو گلوگاهه (شبکه‌بندی  $117 \times 95$ ) روش بیم-وارمینگ  
 شکل (۲۲-۵) - خطوط فشار ثابت در نازل دو گلوگاهه (شبکه‌بندی  $117 \times 95$ ) روش بیم-وارمینگ  
 شکل (۲۳-۵) - خطوط فشار ثابت در نازل پلاگ‌دار (شبکه‌بندی  $107 \times 76$ )  
 شکل (۲۴-۵) - خطوط ماخ ثابت در نازل پلاگ‌دار (شبکه‌بندی  $107 \times 76$ )  
 شکل (۲۵-۵) - مقایسه منحنی تغییرات فشار در سطح نازل پلاگ‌دار روش بیم-وارمینگ  
 شکل (۲۶-۵) - مقایسه منحنی تغییرات انتروپی در سطح نازل پلاگ‌دار روش بیم-وارمینگ  
 شکل (۲۷-۵) - مقایسه منحنی تغییرات فشار در سطح تقارن نازل پلاگ‌دار روش بیم-وارمینگ  
 شکل (۲۸-۵) - مقایسه منحنی تغییرات عدد ماخ در سطح تقارن نازل پلاگ‌دار روش بیم-وارمینگ  
 شکل (۲۹-۵) - مقایسه منحنی تغییرات ضریب انتقال حرارت در سطح نازل پلاگ‌دار روش بیم-وارمینگ  
 شکل (۳۰-۵) - مقایسه منحنی تغییرات ضریب اصطکاک در سطح نازل پلاگ‌دار روش بیم-وارمینگ  
 شکل (۳۱-۵) - بردارهای سرعت در نازل یک گلوگاهه (شبکه‌بندی  $102 \times 86$ )  
 شکل (۳۲-۵) - مقایسه منحنی تغییرات فشار در سطح نازل یک گلوگاهه روش اسکالار  
 شکل (۳۳-۵) - مقایسه منحنی تغییرات انتروپی در سطح نازل یک گلوگاهه روش اسکالار  
 شکل (۳۴-۵) - مقایسه منحنی تغییرات فشار در سطح تقارن نازل یک گلوگاهه روش اسکالار  
 شکل (۳۵-۵) - مقایسه منحنی تغییرات ماخ در سطح تقارن نازل یک گلوگاهه روش اسکالار  
 شکل (۳۶-۵) - مقایسه منحنی تغییرات ضریب انتقال حرارت در سطح نازل یک گلوگاهه روش اسکالار  
 شکل (۳۷-۵) - مقایسه منحنی تغییرات ضریب اصطکاک در سطح نازل یک گلوگاهه روش اسکالار  
 شکل (۳۸-۵) - خطوط فشار ثابت در نازل یک گلوگاهه (شبکه‌بندی  $102 \times 86$ )  
 شکل (۳۹-۵) - خطوط ماخ ثابت در نازل یک گلوگاهه (شبکه‌بندی  $102 \times 86$ )  
 شکل (۴۰-۵) - بردارهای سرعت در نازل دو گلوگاهه (شبکه‌بندی  $241 \times 91$ )  
 شکل (۴۱-۵) - ناحیه جدايش در نازل دو گلوگاهه (شبکه‌بندی  $241 \times 91$ )  
 شکل (۴۲-۵) - خطوط ماخ ثابت در نازل دو گلوگاهه (شبکه‌بندی  $241 \times 91$ )  
 شکل (۴۳-۵) - خطوط فشار ثابت در نازل دو گلوگاهه (شبکه‌بندی  $241 \times 91$ )  
 شکل (۴۴-۵) - مقایسه منحنی تغییرات فشار در سطح نازل دو گلوگاهه روش اسکالار  
 شکل (۴۵-۵) - مقایسه منحنی تغییرات انتروپی در سطح نازل دو گلوگاهه روش اسکالار  
 شکل (۴۶-۵) - مقایسه منحنی تغییرات فشار در سطح تقارن نازل دو گلوگاهه روش اسکالار  
 شکل (۴۷-۵) - مقایسه منحنی تغییرات ماخ در سطح تقارن نازل دو گلوگاهه روش اسکالار  
 شکل (۴۸-۵) - مقایسه منحنی تغییرات ضریب انتقال حرارت در سطح نازل دو گلوگاهه روش اسکالار  
 شکل (۴۹-۵) - مقایسه منحنی تغییرات ضریب اصطکاک در سطح نازل دو گلوگاهه روش اسکالار

- شکل (۵۰-۵) - خطوط فشار ثابت در نازل پلاگی دار (شبکه بندی  $102 \times 86$ ) روش اسکالر  
 شکل (۵۱-۵) - خطوط ماخ ثابت در نازل پلاگی دار (شبکه بندی  $102 \times 86$ ) روش اسکالر  
 شکل (۵۲-۵) - مقایسه منحنی تغییرات فشار در سطح نازل پلاگی دار روش اسکالر  
 شکل (۵۳-۵) - مقایسه منحنی تغییرات انتروپی در سطح نازل پلاگی دار روش اسکالر  
 شکل (۵۴-۵) - مقایسه منحنی تغییرات فشار در سطح تقارن نازل پلاگی دار روش اسکالر  
 شکل (۵۵-۵) - مقایسه منحنی تغییرات ماخ در سطح تقارن نازل پلاگی دار روش اسکالر  
 شکل (۵۶-۵) - مقایسه منحنی تغییرات ضریب انتقال حرارت در سطح نازل پلاگی دار روش اسکالر  
 شکل (۵۷-۵) - مقایسه منحنی تغییرات ضریب انتقال حرارت در سطح نازل پلاگی دار روش اسکالر  
 شکل (۵۸-۵) - بردارهای سرعت در نازل یک گلوگاهه (شبکه بندی  $91 \times 75$ )  
 شکل (۵۹-۵) - مقایسه تغییرات فشار در سطح نازل یک گلوگاهه روش ماتریسی  
 شکل (۶۰-۵) - مقایسه تغییرات انتروپی در سطح نازل یک گلوگاهه روش اتفاف ماتریسی  
 شکل (۶۱-۵) - مقایسه تغییرات فشار در خط تقارن نازل یک گلوگاهه روش اتفاف ماتریسی  
 شکل (۶۲-۵) - مقایسه تغییرات عدد ماخ در خط تقارن نازل یک گلوگاهه روش اتفاف ماتریسی  
 شکل (۶۳-۵) - مقایسه تغییرات ضریب انتقال حرارت در سطح نازل یک گلوگاهه روش اتفاف ماتریسی  
 شکل (۶۴-۵) - مقایسه تغییرات ضریب انتقال حرارت در سطح نازل یک گلوگاهه روش اتفاف ماتریسی  
 شکل (۶۵-۵) - خطوط فشار ثابت در نازل یک گلوگاهه (شبکه بندی  $91 \times 75$ ) روش اتفاف ماتریسی  
 شکل (۶۶-۵) - خطوط ماخ ثابت در نازل یک گلوگاهه (شبکه بندی  $75 \times 91$ ) روش اتفاف ماتریسی  
 شکل (۶۷-۵) - بردارهای سرعت در نازل دو گلوگاهه (شبکه بندی  $50 \times 80$ ) روش اتفاف ماتریسی  
 شکل (۶۸-۵) - ناحیه جدايش در نازل دو گلوگاهه (شبکه بندی  $80 \times 50$ ) روش اتفاف ماتریسی  
 شکل (۶۹-۵) - خطوط فشار ثابت در نازل دو گلوگاهه (شبکه بندی  $50 \times 80$ ) روش اتفاف ماتریسی  
 شکل (۷۰-۵) - خطوط ماخ ثابت در نازل دو گلوگاهه (شبکه بندی  $80 \times 50$ ) روش اتفاف ماتریسی  
 شکل (۷۱-۵) - مقایسه تغییرات فشار در سطح نازل دو گلوگاهه روش اتفاف ماتریسی  
 شکل (۷۲-۵) - مقایسه تغییرات انتروپی در سطح نازل دو گلوگاهه روش اتفاف ماتریسی  
 شکل (۷۳-۵) - مقایسه تغییرات فشار در خط تقارن نازل دو گلوگاهه روش اتفاف ماتریسی  
 شکل (۷۴-۵) - مقایسه تغییرات عدد ماخ در خط تقارن نازل دو گلوگاهه روش اتفاف ماتریسی  
 شکل (۷۵-۵) - مقایسه تغییرات ضریب انتقال حرارت در سطح نازل دو گلوگاهه روش اتفاف ماتریسی  
 شکل (۷۶-۵) - مقایسه تغییرات ضریب انتقال حرارت در سطح نازل دو گلوگاهه روش اتفاف ماتریسی  
 شکل (۷۷-۵) - خطوط فشار ثابت در نازل پلاگی دار (شبکه بندی  $55 \times 77$ ) روش اتفاف ماتریسی  
 شکل (۷۸-۵) - خطوط ماخ ثابت در نازل پلاگی دار (شبکه بندی  $55 \times 77$ ) روش اتفاف ماتریسی  
 شکل (۷۹-۵) - مقایسه تغییرات فشار در سطح نازل پلاگی دار روش اتفاف ماتریسی  
 شکل (۸۰-۵) - مقایسه تغییرات انتروپی در سطح نازل پلاگی دار روش اتفاف ماتریسی  
 شکل (۸۱-۵) - مقایسه تغییرات فشار در خط تقارن نازل پلاگی دار روش اتفاف ماتریسی  
 شکل (۸۲-۵) - مقایسه تغییرات عدد ماخ در خط تقارن نازل پلاگی دار روش اتفاف ماتریسی  
 شکل (۸۳-۵) - مقایسه تغییرات ضریب انتقال حرارت در سطح نازل پلاگی دار روش اتفاف ماتریسی  
 شکل (۸۴-۵) - مقایسه تغییرات ضریب انتقال حرارت در سطح نازل پلاگی دار روش اتفاف ماتریسی  
 شکل (۸۵-۵) - مقایسه تغییرات فشار در سطح نازل دو گلوگاهه در روش‌های مختلف  
 شکل (۸۶-۵) - مقایسه تغییرات عدد ماخ در خط تقارن نازل دو گلوگاهه در روش‌های مختلف.  
 شکل (۸۷-۵) - مقایسه تغییرات ضریب انتقال حرارت در سطح نازل دو گلوگاهه در روش‌های مختلف

- شکل (۸۸-۵) - مقایسه تغییرات ضریب اصطکاک در سطح نازل دو گلوگاهه در روش‌های مختلف  
شکل (۸۹-۵) - مقایسه تغییرات آنتروپی در سطح نازل دو گلوگاهه در روش‌های مختلف  
شکل (۹۰-۵) - مقایسه تغییرات فشار در خط تقارن نازل دو گلوگاهه در روش‌های مختلف  
شکل (۹۱-۵) - مقایسه تغییرات فشار در سطح نازل یک گلوگاهه در روش‌های مختلف  
شکل (۹۲-۵) - مقایسه تغییرات آنتروپی در سطح نازل یک گلوگاهه در روش‌های مختلف  
شکل (۹۳-۵) - مقایسه تغییرات ضریب انتقال حرارت در سطح نازل یک گلوگاهه در روش‌های مختلف  
شکل (۹۴-۵) - مقایسه تغییرات ضریب اصطکاک در سطح نازل یک گلوگاهه در روش‌های مختلف  
شکل (۹۵-۵) - مقایسه تغییرات فشار در خط تقارن نازل یک گلوگاهه در روش‌های مختلف  
شکل (۹۶-۵) - مقایسه تغییرات عدد ماخ در خط تقارن نازل یک گلوگاهه در روش‌های مختلف  
شکل (۹۷-۵) - مقایسه تغییرات فشار در سطح نازل پلاگ‌دار در روش‌های مختلف  
شکل (۹۸-۵) - مقایسه تغییرات آنتروپی در سطح نازل پلاگ‌دار در روش‌های مختلف  
شکل (۹۹-۵) - مقایسه تغییرات فشار در خط تقارن نازل پلاگ‌دار در روش‌های مختلف  
شکل (۱۰۰-۵) - مقایسه تغییرات عدد ماخ در خط تقارن نازل پلاگ‌دار در روش‌های مختلف  
شکل (۱۰۱-۵) - مقایسه تغییرات ضریب انتقال حرارت در سطح نازل پلاگ‌دار در روش‌های مختلف  
شکل (۱۰۲-۵) - مقایسه تغییرات ضریب اصطکاک در سطح نازل پلاگ‌دار در روش‌های مختلف  
شکل (۱۰۳-۵) تا (۱۰۸-۵) مقایسه تغییرات فشار در سطح مدل A با استفاده از متغیر فشار و حسگرهای شوک مختلف  
شکل (۱۰۹-۵) تا (۱۱۴-۵) مقایسه تغییرات آنتروپی در سطح مدل A با استفاده از حسگرهای شوک مختلف  
شکل (۱۱۵-۵) تا (۱۲۰-۵) مقایسه تغییرات ضریب اصطکاک در سطح مدل A با استفاده از حسگرهای شوک مختلف  
شکل (۱۲۱-۵) تا (۱۲۶-۵) مقایسه تغییرات ضریب انتقال حرارت در سطح مدل A با استفاده از حسگرهای شوک مختلف  
شکل (۱۲۷-۵) تا (۱۳۲-۵) مقایسه تغییرات عدد ماخ در سطح تقارن مدل A با استفاده از حسگرهای شوک مختلف  
شکل (۱۳۳-۵) تا (۱۳۸-۵) مقایسه تغییرات فشار در سطح تقارن مدل A با استفاده از حسگرهای شوک مختلف  
شکل (۱۳۹-۵) تا (۱۴۴-۵) مقایسه تغییرات همگرایی مدل A با استفاده از حسگرهای شوک مختلف  
شکل (۱۴۵-۵) تا شکل (۱۵۰-۵) مقایسه تغییرات فشار در سطح نازل B با استفاده از حسگرهای شوک مختلف  
شکل (۱۵۱-۵) تا (۱۵۶-۵) مقایسه تغییرات آنتروپی در سطح نازل B با استفاده از حسگرهای شوک مختلف  
شکل (۱۵۷-۵) تا (۱۶۲-۵) مقایسه تغییرات ضریب اصطکاک در سطح نازل B با استفاده از حسگرهای شوک مختلف  
شکل (۱۶۳-۵) تا (۱۶۸-۵) مقایسه تغییرات ضریب انتقال حرارت در سطح نازل B با استفاده از حسگرهای شوک مختلف  
شکل (۱۶۹-۵) تا (۱۷۴-۵) مقایسه تغییرات عدد ماخ در سطح تقارن نازل B با استفاده از حسگرهای شوک مختلف

- شکل (۱۷۵-۵) تا (۱۸۰-۵) مقایسه تغییرات فشار در سطح تقارن نازل B با استفاده از حسگرهای شوک مختلف
- شکل (۱۸۱-۵) تا (۱۸۶-۵) مقایسه تغییرات همگرایی نازل B با استفاده از حسگرهای شوک مختلف
- شکل (۱۸۷-۵) تا (۱۹۲-۵) مقایسه تغییرات فشار در سطح نازل C با استفاده از حسگرهای شوک مختلف
- شکل (۱۹۳-۵) تا (۱۹۸-۵) مقایسه تغییرات انتروپی در سطح نازل C با استفاده از حسگرهای شوک مختلف
- شکل (۱۹۹-۵) تا (۲۰۴-۵) مقایسه تغییرات ضریب اصطکاک در سطح نازل C با استفاده از حسگرهای شوک مختلف
- شکل (۲۰۵-۵) تا (۲۱۰-۵) مقایسه تغییرات ضریب انتقال حرارت در سطح نازل C با استفاده از حسگرهای شوک مختلف
- شکل (۲۱۱-۵) تا (۲۱۶-۵) مقایسه تغییرات عد ماخ در سطح تقارن نازل C با استفاده از حسگرهای شوک مختلف
- شکل (۲۱۷-۵) تا (۲۲۲-۵) مقایسه تغییرات فشار در سطح تقارن نازل C با استفاده از حسگرهای شوک مختلف
- شکل (۲۲۳-۵) تا (۲۲۸-۵) مقایسه تغییرات همگرایی نازل C با استفاده از حسگرهای شوک مختلف
- شکل (۲۲۹-۵) تا (۲۳۴-۵) مقایسه تغییرات فشار در سطح نازل D با استفاده از حسگرهای شوک مختلف
- شکل (۲۳۵-۵) تا (۲۴۰-۵) مقایسه تغییرات انتروپی در سطح نازل D با استفاده از حسگرهای شوک مختلف
- شکل (۲۴۱-۵) تا (۲۴۶-۵) مقایسه تغییرات ضریب اصطکاک در سطح نازل D با استفاده از حسگرهای شوک مختلف
- شکل (۲۴۷-۵) تا (۲۵۲-۵) مقایسه تغییرات ضریب انتقال حرارت در سطح نازل D با استفاده از حسگرهای شوک مختلف
- شکل (۲۵۳-۵) تا (۲۵۸-۵) مقایسه تغییرات عد ماخ در سطح تقارن نازل D با استفاده از حسگرهای شوک مختلف
- شکل (۲۵۹-۵) تا (۲۶۴-۵) مقایسه تغییرات فشار در سطح تقارن نازل D با استفاده از حسگرهای شوک مختلف
- شکل (۲۶۵-۵) تا (۲۷۰-۵) مقایسه تغییرات همگرایی نازل D با استفاده از حسگرهای شوک مختلف

## فهرست علائم

$Re$	عدد رینولدز	$F, G, H$	بردارهای شار غیرلزج در مختصات
$M$	عدد ماخ	$S, T$	بردارهای شار لزج
$Pr$	عدد پرانتل	$A, B$	ماتریس‌های ژاکوبین بردارهای $F$ و $G$
$u, v$	مولفه‌های سرعت	$L, N$	ماتریس‌های ژاکوبین بردارهای $S$ و $T$
$x, y$	مولفه‌های مختصات کارتزین	$K$	ماتریس‌های ژاکوبین جمله غیرلزج
$T_0$	دماهی سکون	imax,jmax	بیشینه تعداد نقاط شبکه در جهات $\xi, \eta$
$\Delta t$	گام زمانی	$Y_N$	فاصله عمودی از سطح جسم
$U, V$	مؤلفه‌های غیرفیزیکی جریان	$c$	سرعت صوت
$e$	انرژی داخلی بر واحد جرم	$I$	ماتریس واحد
$E$	انرژی کل بر واحد حجم	$J$	ژاکوبین تبدیل
		$\Lambda_\xi^i, \Lambda_\eta^i, \Lambda_\eta^v$	ماتریس‌های قطری
		$p$	فشار
		$p_0$	فشار سکون

## فهرست علائم یونانی

$i, j$	اندیس نقاط شبکه منحنی الخط در جهات $\xi, \eta$	$\Delta$	عملگر تفاضل پیشرو
	بالانویس	$\nabla$	عملگر تفاضل پسرو
$n$	گام زمانی	$\epsilon$	ضریب اتلاف
$i, v$	اندیس ماتریس‌های قطری لزج و غیرلزج	$\mu$	ضریب لرجه
		$\kappa$	ضریب انتقال حرارت رسانشی
		$\rho$	چگالی
		$\xi, \eta$	مختصات منحنی الخط
		$\xi_x, \xi_y, \eta_x, \eta_y$	متريک‌های تبدیل

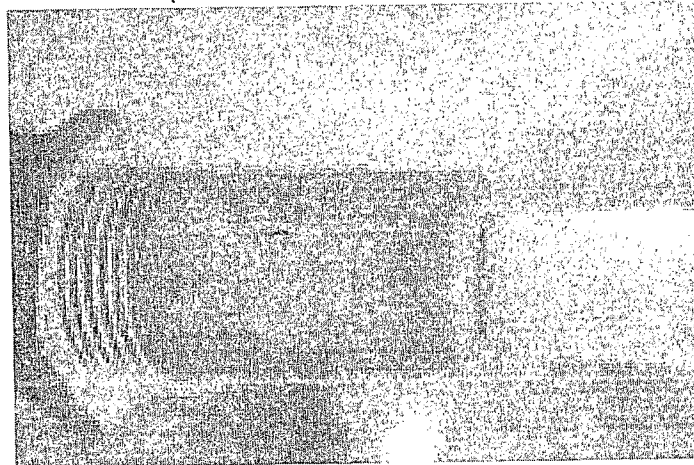
فصل اول

## دینامیک سیالات جریان داخلی

با توجه به استفاده از جریان داخلی در صنعت امروز بعنوان یک ابزار در تکنولوژی بخصوص در صنعت هواپیما، بررسی تحولات و فعل و افعالات صورت گرفته و شناخت ماهیت سیال و تغییرات خواص سیال در حین پروسه انجام کار، حائز اهمیت است. در صنعت هواپیما استفاده از جریان داخلی در رانش موشکها و راکتها نقش اصلی را ایفا می‌کند زیرا نازل‌ها نیروی رانش را ایجاد می‌کنند و تحقیقات مفصلی در بالا بردن بازده بیشتر نازل‌ها و پایین آوردن هزینه و دستیابی به اشکال مناسبتر نازل در دست اقدام است.

### ۱-۱- نازل

نازل یک وسیله مکانیکی است که برای کنترل خصوصیات سیال در خروجی یا ورودی لوله‌ها یا محفظه احتراق طراحی می‌شود. نازل معمولاً یک لوله یا یک تیوب با سطح مقطع ثابت است و از آن برای هدایت جریان سیال ( گاز یا مایع ) استفاده می‌شود. از نازل‌ها گاهی برای کنترل نرخ جریان، سرعت، جهت، جرم، شکل و فشار جریانی که از آن خارج می‌شود نیز استفاده می‌شود.



شکل (۱-۱) - نازل آب.

## ۱-۲- انواع نازل‌ها

### ناazel‌های سرعت بالا

از این نازل‌ها برای افزایش انرژی جریان با استفاده از انرژی پتانسیل و انرژی فشاری سیال استفاده می‌کنند. این نازل‌ها همگرا یا واگرا یا ترکیبی از این دو می‌باشند که معروف‌ترین مدل از این نوع نازل‌ها، نازل دلاوال<sup>۱</sup> است که نازل همگرا واگراست.

ناazel‌های همگرا برای شتاب دادن به سیال مادون صوت بکار می‌روند. اگر نسبت فشار مناسب باشد سرعت جریان سیال در نازل به سرعت صوت می‌رسد که در این حالت اصطلاحاً می‌گویند به حالت خفگی<sup>۲</sup> رسیده است که در این صورت افزایش نسبت فشار تأثیری در افزایش سرعت جریان بیش از سرعت صوت نخواهد داشت.

در نازل واگرا اگر جریان ورودی مادون صوت باشد سرعت کاهش می‌یابد و اگر جریان ورودی صوتی یا مافوق صوت باشد سرعت افزایش می‌یابد.

ناazel‌های همگرا-واگرا توانایی افزایش سرعت سیالی را که به حالت خفگی رسیده است را تا سرعت مافوق صوت دارند که از این قابلیت استفاده‌های بسیاری در صنعت می‌شود. در ازای یک دبی جرمی

<sup>۱</sup> De Laval

<sup>۲</sup> Chocked

خاص، بیشترین نیروی پیشرانش<sup>۳</sup> وقتی حاصل می‌شود که سرعت خروجی سیال بیشترین مقدار خود را داشته باشد. بنابراین در هواپیماهای مافوق صوت از نازل‌های همگرا-واگرا علی‌رغم وزنو هزینه زیاد آنها استفاده می‌کنند. موتور جت مافوق صوت مانند موتور جنگنده‌ها و هواپیماهای SST (مانند کنکورد)، از بیشترین نسبت فشار ممکن برای دستیابی به بیشترین سرعت خروجی ممکن استفاده می‌کنند.

در موتورهای جت مادون‌صوت چون نیازی به سرعت خروجی زیادی نیست بنابراین از نسبت فشار اپتیمم و نازل همگرای ساده استفاده می‌کنند چون بهترین بازده انرژی در سرعت‌های پایین به ازای سرعت کم خروجی بدست می‌آید.

در موتورهای راکت‌ها از نازل همگرا-واگرا استفاده می‌شود که برای افزایش نیروی پیشرانش و سرعت خروجی سیال از بیشترین نسبت فشار ممکن استفاده می‌شود.

عدد ماخ "یک" برای گازهای داغ سرعت بسیار بالایی است؛ و حرارت سرعت صوت را به مقدار قابل توجهی افزایش می‌دهد. بنابراین سرعت حقیقی در گلوگاه نازل بسیار بیشتر از سرعت صوت در سطح دریا است. این اصل در پرتاب موشکهای هایپرسونیک کاربرد فراوانی دارد.

### نازل‌های مغناطیسی

نازل‌های مغناطیسی در پارهای از پیشرانها مورد استفاده قرار می‌گیرد که در آن از جریان پلاسمای که در یک میدان مغناطیسی هدایت می‌شود، استفاده می‌شود. این میدان مغناطیسی نقش دیواره‌های جامد در نازل را ایفا می‌کنند.

### نازل‌های اسپری

نازل‌های بسیاری مایع را تبدیل به پودر می‌کنند.

نازل‌های لوله و نتوری برای اسپری رنگ، عطر و کاربراتور و... مورد استفاده قرار می‌گیرد.